

島、久慈、宮古、田代島と高い相関を示す。3)浦河と他側点間の相関は低い。4)浦河を除く10測点では隣接する測点間で高い相関を示す。一方、秦 (1971) は対馬暖流の変動は約2ヶ月後に津軽暖流に影響を与えることを指摘しているので、このことが水温変動にも現れるかどうかを見るため、日本海側の輪島、鰺ヶ沢と太平洋側の久慈から大船渡までの偏差時系列において相互相関を求めた (Fig. 5)。この結果いずれにおいても2ヶ月付近にピークは認められず、他にも有意なピークは認められない

かった。このなかで、輪島と宮古の間では Time Lag 1ヶ月でも $r=0.5$ 程度と Time Lag 0ヶ月とほぼ同様であったことが注目される。

次に月レベルの解析では Time Scale が長いために変動の伝播が打ち消されていると考え、旬平均水温を用いて相互相関を求めた (Fig. 6)。これによると輪島と宮古の関係以外ではピークは存在せず、輪島と宮古間には Time Lag 1旬目にピークがみられたが、旬レベルにおいても有意な関係は認められなかった。

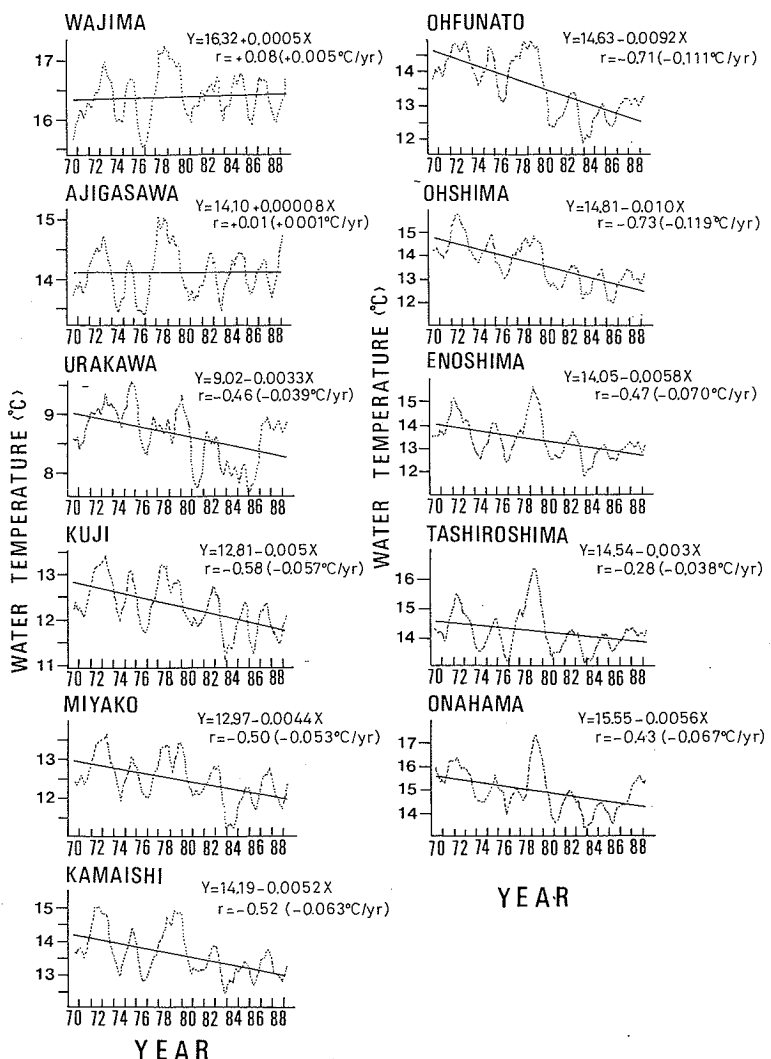


Fig. 3. Time-series of 12-month running mean SST (brokon line) and long-term trends of them (solid line) at each coastal station.

本州北部沿岸定地水温の変動特性

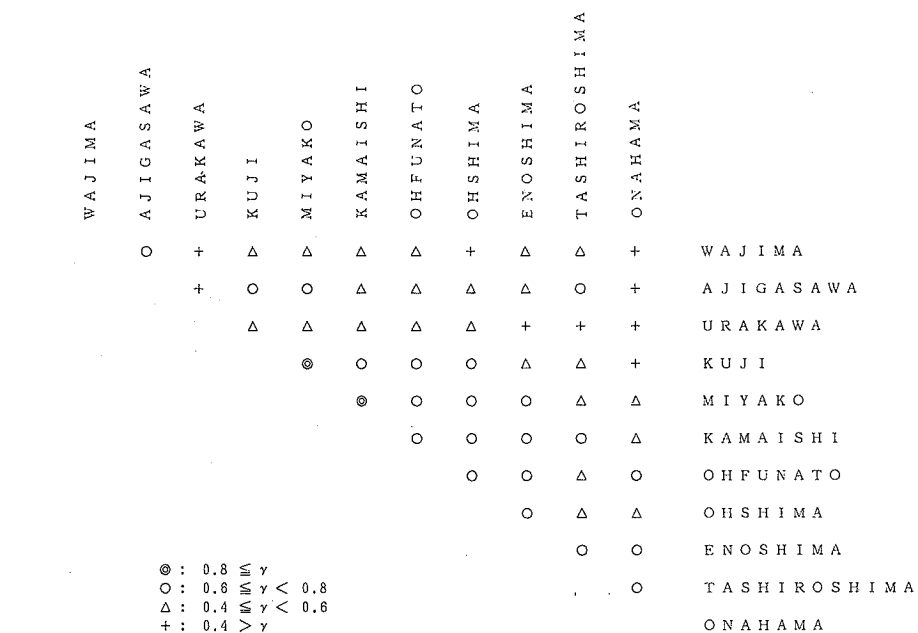


Fig. 4. Correlation among each station by monthly anomaly temperatures.

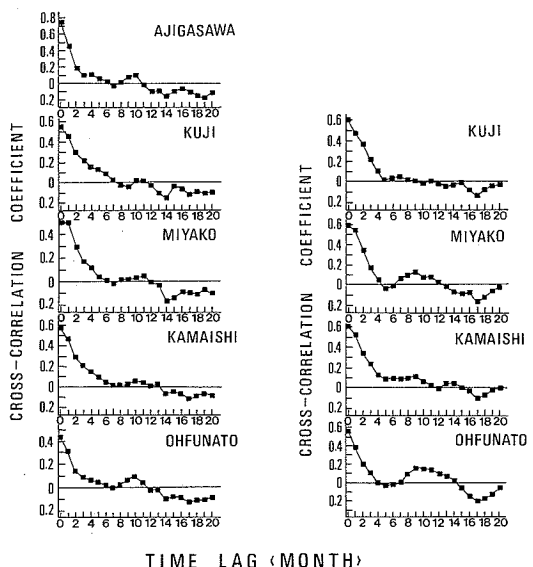


Fig. 5. Cross-correlation between St. Wajima and St. Ajigasawa to St. Ohfunato (Left) and Cross-correlation between St. Ajigasawa and St. Kuji to St. Ohfunato (Right) by monthly anomaly temperature.

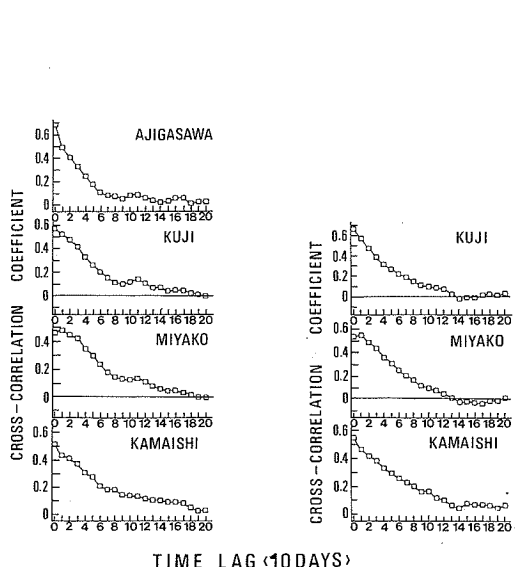


Fig. 5. Cross-correlation between St. Wajima and St. Ajigasawa to St. Kamaishi (Left) and Cross-correlation between St. Ajigasawa and St. Kuji to St. Kamaishi (Right) by 10 days anomaly temperature.

本州北部沿岸定地水温の変動特性

3-5 定地水温の周期性

各測点における周期性をみるため、トレンドを除去し

た後 MEM を用いてスペクトル解析を行った（予測誤差
フィルター項数 $m=3 \sqrt{N}=45$: Fig. 9）。輪島、鰐ヶ沢

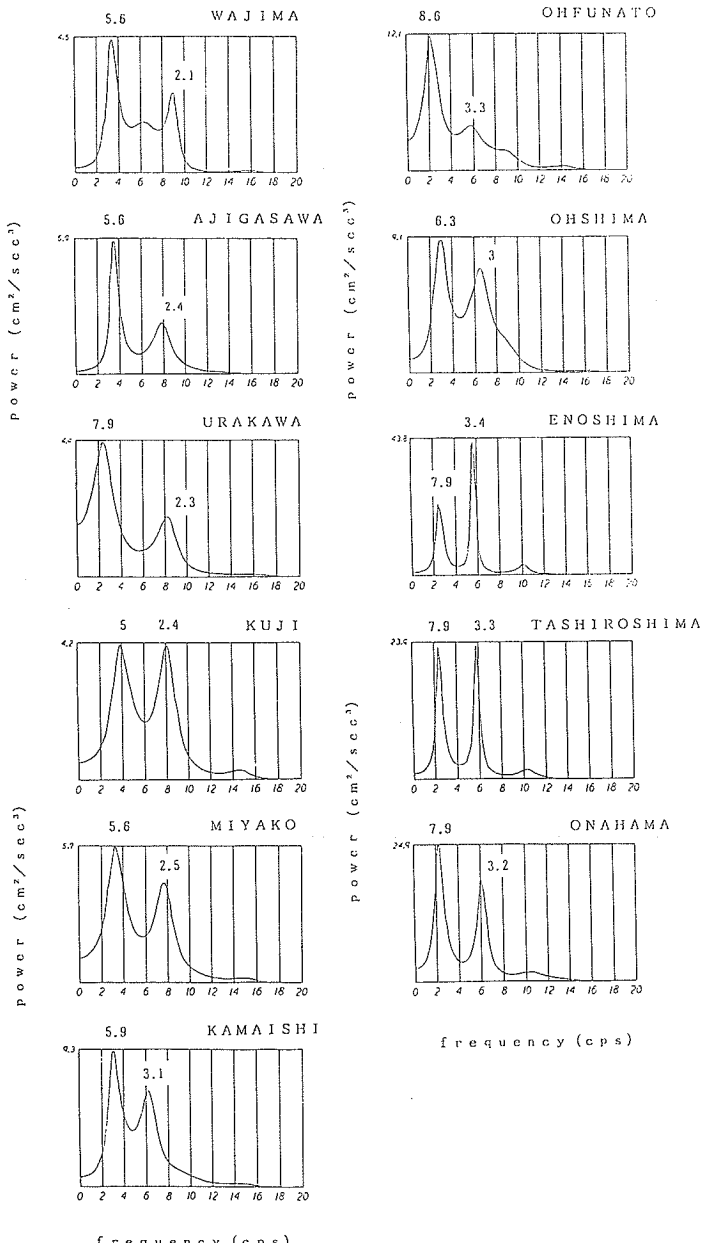


Fig. 9. Power spectra of 12-month running mean SST at each coastal station for the period from 1970 through 1989. Long-term trend is excluded.

